

# Procjene maksimalnih godišnjih kratkotrajnih količina oborine na postaji Ličko Lešće

Geografska širina ( $\varphi$ ): 44.81028° (405960.38E)

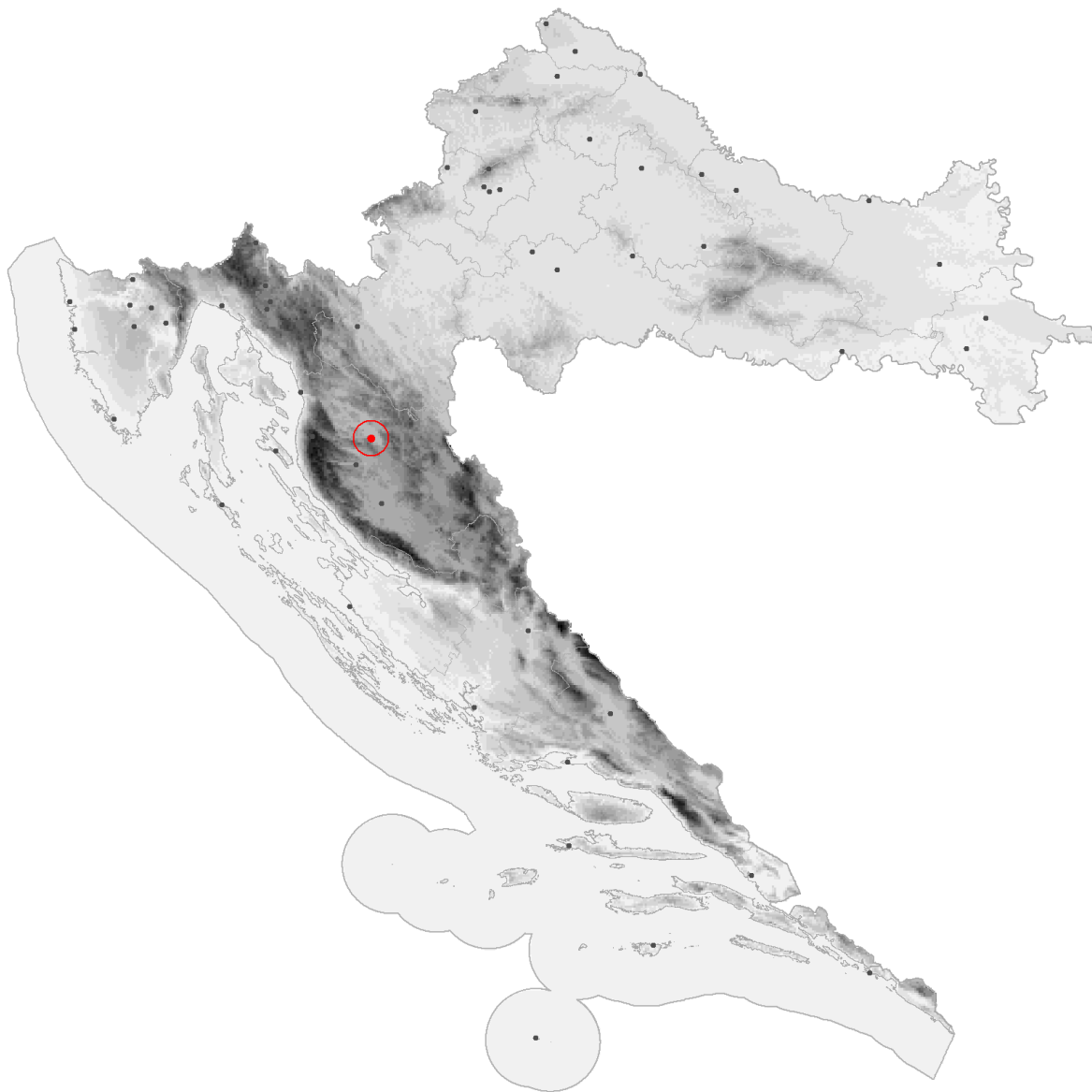
Geografska dužina ( $\lambda$ ): 15.31111° (4964051.83N)

Nadmorska visina (h): 458 m

Razdoblje: 1969. – 2020.

Analizirani broj godina: 49 (94.2 %)

Nedostajuće godine: 3 (5.8 %) 1979, 1984, 1985



Najbliži ombrograf: Kosinjski Bakovac, 13 km

**Tablica 1.**

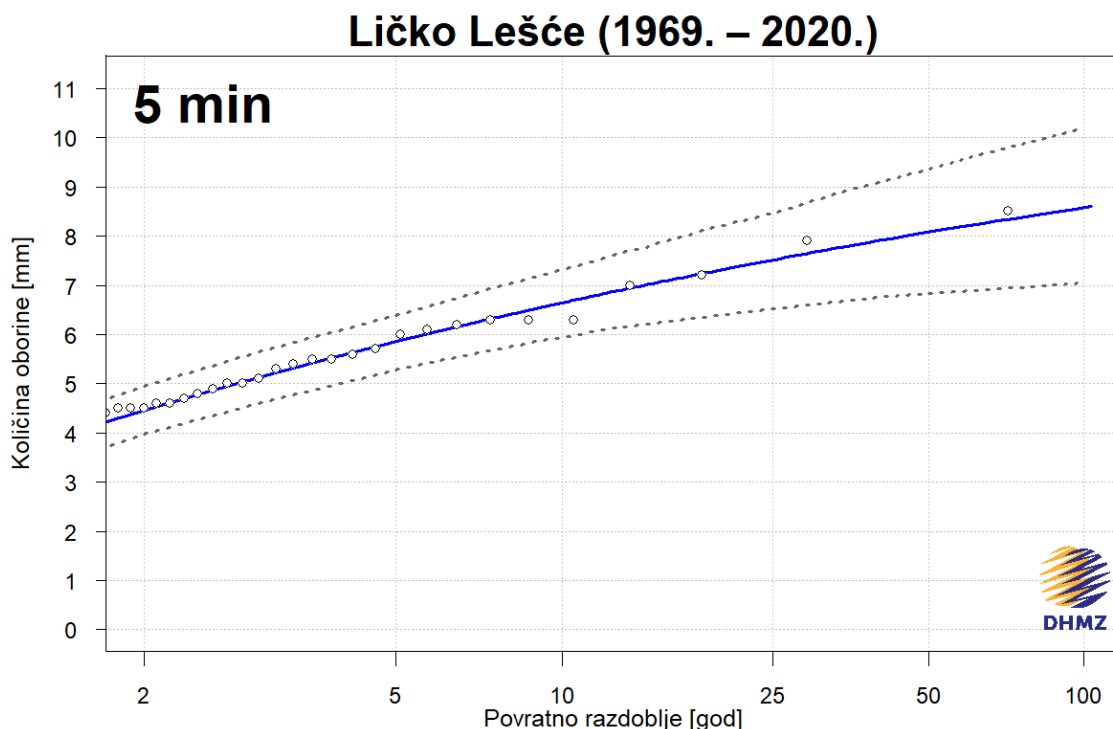
Osnovni statistički parametri oborine za različita trajanja: Rsred – srednjak [mm], StDev – standardna devijacija [mm], CV – koeficijent varijacije oborine, Rmaks – najveća registrirana količina oborine [mm] i pripadni datum i vrijeme, Tmaks – pripadno povratno razdoblje za Rmaks [god]. LIČKO LEŠĆE, razdoblje 1969. – 2020.

| Trajanje | Rsred | StDev | CV   | Rmaks | Datum/Vrijeme       | Tmaks |
|----------|-------|-------|------|-------|---------------------|-------|
| 5 min    | 4.6   | 1.5   | 0.33 | 8.5   | 2016-06-27 10:40:00 | 89    |
| 10 min   | 7.8   | 2.2   | 0.28 | 12.2  | 1995-07-29 04:10:00 | 34    |
| 20 min   | 12.5  | 3.5   | 0.28 | 20.8  | 1991-10-01 11:20:00 | 53    |
| 30 min   | 15.8  | 4.7   | 0.30 | 27.9  | 2011-08-08 23:55:00 | 60    |
| 40 min   | 18.3  | 5.6   | 0.31 | 34.1  | 2011-08-09 00:05:00 | 70    |
| 50 min   | 20.3  | 6.3   | 0.31 | 37.8  | 2011-08-09 00:15:00 | 71    |
| 60 min   | 21.9  | 6.8   | 0.31 | 41.9  | 2011-08-09 00:25:00 | 105   |
| 2 h      | 29.3  | 9.6   | 0.33 | 54.1  | 1994-08-25 09:55:00 | 43    |
| 3 h      | 34.7  | 11.2  | 0.32 | 61.0  | 1998-10-01 19:25:00 | 33    |
| 4 h      | 38.1  | 11.3  | 0.30 | 64.7  | 2011-08-09 02:00:00 | 35    |
| 6 h      | 43.3  | 11.9  | 0.27 | 69.5  | 2015-09-05 15:20:00 | 31    |
| 8 h      | 46.3  | 12.1  | 0.26 | 81.0  | 2015-09-05 16:55:00 | 82    |
| 12 h     | 51.6  | 13.4  | 0.26 | 94.1  | 2015-09-05 16:50:00 | 83    |
| 24 h     | 62.1  | 18.7  | 0.30 | 135.3 | 2015-10-15 15:40:00 | 266   |

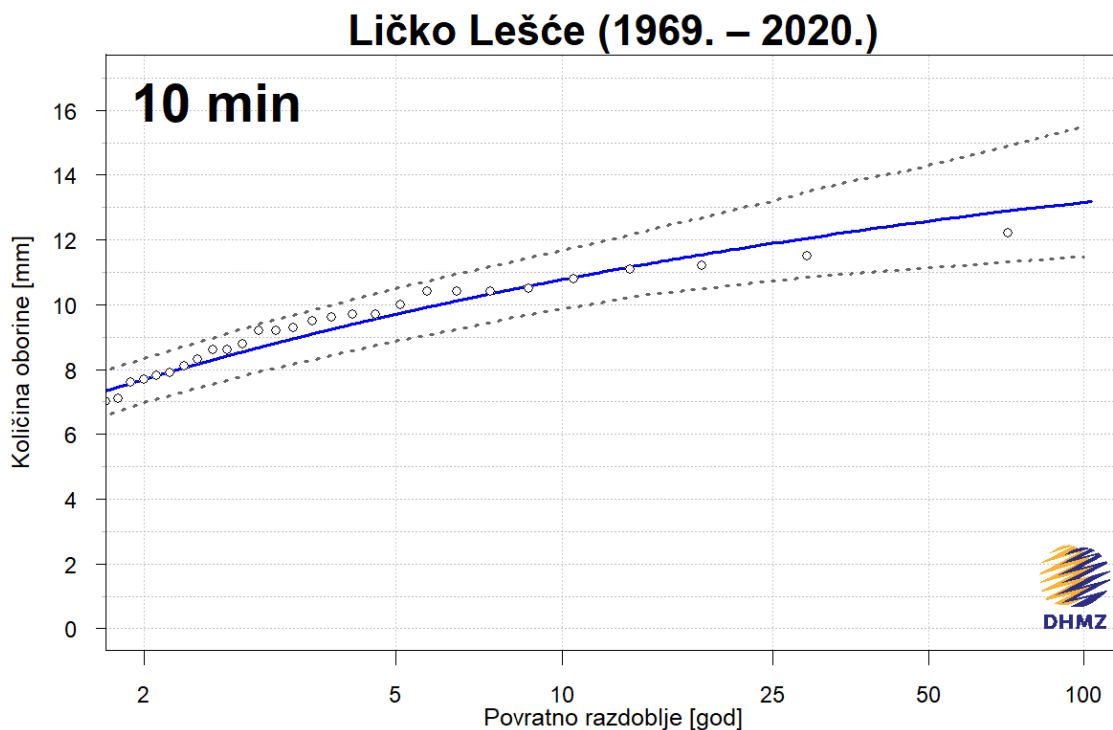
**Tablica 2.**

Procjene maksimalnih godišnjih količina oborine RT [mm] za različita trajanja i odgovarajuće donje (IPd) i gornje granice (IPg) 95%-tnih intervala pouzdanosti za različita povratna razdoblja T (2, 5, 10, 25, 50 i 100 godina). **LIČKO LEŠĆE, razdoblje 1969. – 2020.**

| Trajanje | T2   |      |      | T5   |      |      | T10  |      |      | T25  |      |       | T50  |       |       | T100 |       |       |
|----------|------|------|------|------|------|------|------|------|------|------|------|-------|------|-------|-------|------|-------|-------|
|          | IPd  | RT   | IPg  | IPd  | RT   | IPg  | IPd  | RT   | IPg  | IPd  | RT   | IPg   | IPd  | RT    | IPg   | IPd  | RT    | IPg   |
| 5 min    | 4.0  | 4.5  | 4.9  | 5.3  | 5.9  | 6.4  | 5.9  | 6.6  | 7.3  | 6.5  | 7.5  | 8.5   | 6.8  | 8.1   | 9.4   | 7.1  | 8.6   | 10.2  |
| 10 min   | 7.0  | 7.7  | 8.4  | 8.9  | 9.7  | 10.5 | 9.9  | 10.8 | 11.7 | 10.7 | 11.9 | 13.2  | 11.1 | 12.6  | 14.3  | 11.5 | 13.2  | 15.5  |
| 20 min   | 11.3 | 12.2 | 13.3 | 14.2 | 15.4 | 16.8 | 15.7 | 17.3 | 18.9 | 17.2 | 19.4 | 21.6  | 18.0 | 20.7  | 23.7  | 18.6 | 21.9  | 26.1  |
| 30 min   | 13.8 | 15.2 | 16.6 | 17.4 | 19.6 | 21.3 | 19.5 | 22.2 | 24.4 | 21.6 | 25.3 | 28.5  | 22.6 | 27.4  | 31.9  | 23.3 | 29.3  | 35.9  |
| 40 min   | 15.9 | 17.5 | 19.3 | 20.7 | 22.6 | 25.3 | 23.2 | 25.9 | 29.1 | 25.6 | 29.9 | 35.1  | 27.1 | 32.8  | 40.4  | 28.2 | 35.5  | 46.1  |
| 50 min   | 17.6 | 19.4 | 21.3 | 22.7 | 25.2 | 27.9 | 25.6 | 28.8 | 32.7 | 28.5 | 33.2 | 38.9  | 30.2 | 36.3  | 43.9  | 31.7 | 39.2  | 49.3  |
| 60 min   | 19.2 | 21.1 | 23.2 | 24.8 | 27.4 | 30.1 | 27.7 | 31.2 | 34.6 | 30.8 | 35.7 | 40.7  | 32.6 | 38.8  | 45.9  | 34.0 | 41.7  | 51.6  |
| 2 h      | 25.1 | 27.6 | 30.2 | 32.4 | 36.2 | 39.9 | 36.9 | 42.1 | 47.3 | 41.6 | 49.7 | 58.3  | 44.4 | 55.4  | 68.7  | 46.6 | 61.2  | 79.9  |
| 3 h      | 29.7 | 32.8 | 36.6 | 38.6 | 43.1 | 48.5 | 44.0 | 49.8 | 57.0 | 49.3 | 58.4 | 69.9  | 52.6 | 64.8  | 81.5  | 55.3 | 71.1  | 94.3  |
| 4 h      | 33.0 | 36.3 | 39.8 | 42.1 | 46.7 | 51.8 | 47.5 | 53.4 | 59.8 | 53.7 | 61.8 | 71.4  | 56.7 | 67.9  | 82.4  | 59.1 | 73.8  | 94.1  |
| 6 h      | 38.2 | 41.8 | 45.5 | 48.4 | 52.9 | 57.7 | 54.0 | 59.7 | 65.7 | 59.6 | 67.8 | 77.3  | 63.0 | 73.5  | 87.3  | 65.6 | 78.8  | 98.3  |
| 8 h      | 41.2 | 44.6 | 48.8 | 50.9 | 55.8 | 60.8 | 56.5 | 62.8 | 69.0 | 61.8 | 71.2 | 81.0  | 64.8 | 77.0  | 90.7  | 67.5 | 82.6  | 101.4 |
| 12 h     | 45.6 | 49.2 | 53.0 | 56.3 | 61.4 | 67.0 | 62.8 | 69.6 | 77.4 | 69.8 | 80.3 | 93.7  | 74.3 | 88.3  | 108.4 | 78.4 | 96.3  | 125.3 |
| 24 h     | 53.8 | 59.0 | 64.2 | 68.3 | 75.2 | 82.6 | 77.4 | 86.1 | 96.9 | 85.8 | 99.9 | 117.5 | 91.2 | 110.2 | 135.3 | 96.1 | 120.6 | 157.8 |

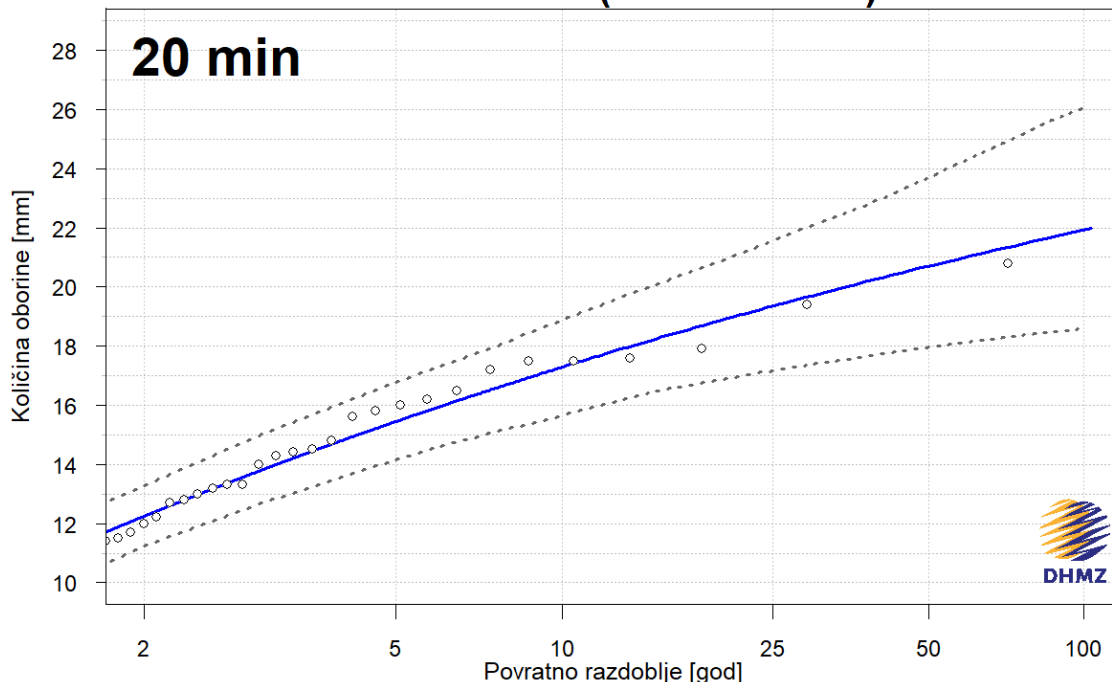


Slika 1. Procjene maksimalnih godišnjih količina oborine za različita povratna razdoblja (plava krivulja) i odgovarajući donji i gornji 95%-tni intervali pouzdanosti (crtkane krivulje) za trajanje **5 minuta**, izračunate pomoću razdiobe GEV



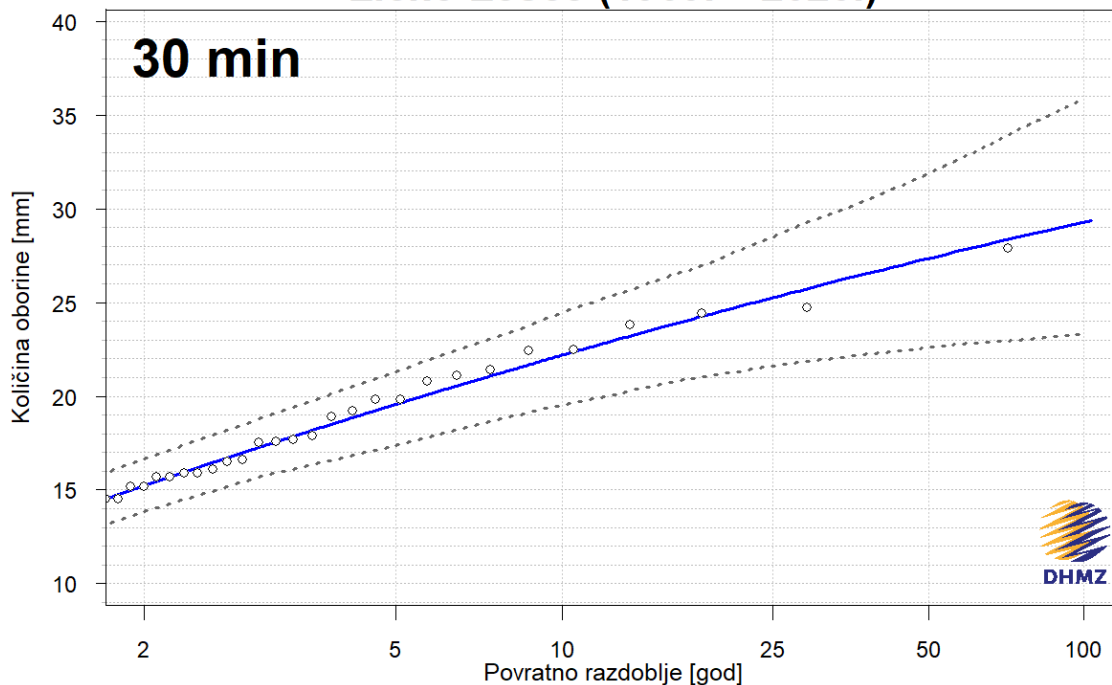
Slika 2. Procjene maksimalnih količina oborine za različita povratna razdoblja (plava krivulja) i odgovarajući donji i gornji 95%-tni intervali pouzdanosti (crtkane krivulje) za trajanje **10 minuta**, izračunate pomoću razdiobe GEV

### Ličko Lešće (1969. – 2020.)



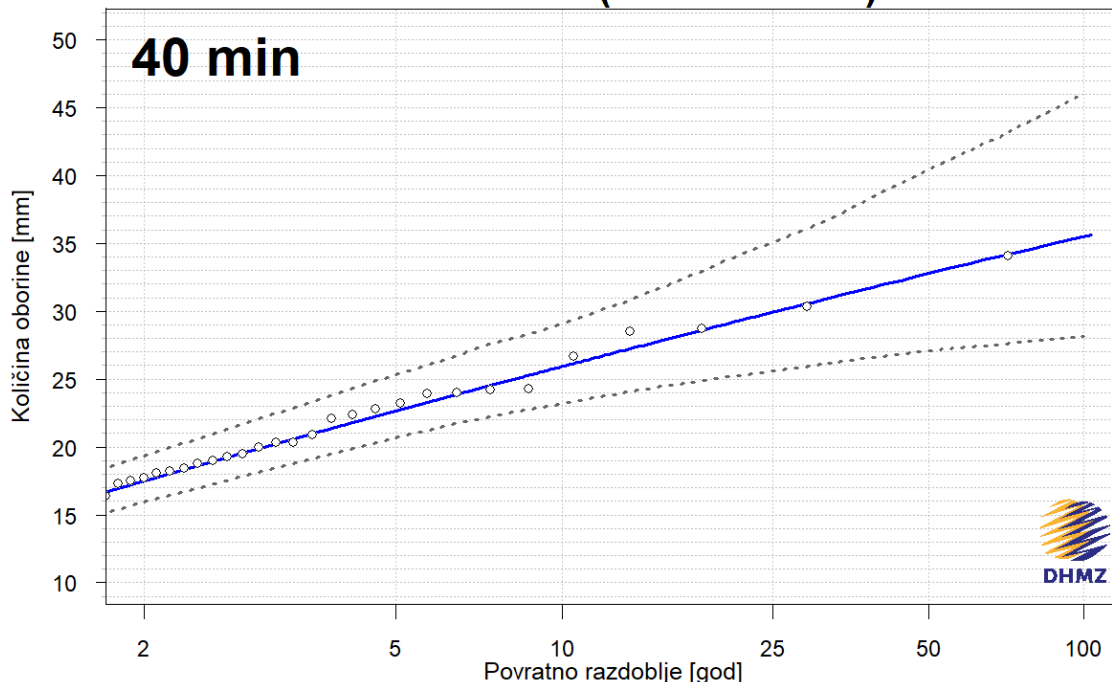
Slika 3. Procjene maksimalnih godišnjih količina oborine za različita povratna razdoblja (plava krivulja) i odgovarajući donji i gornji 95%-tni intervali pouzdanosti (crtkane krivulje) za trajanje **20 minuta**, izračunate pomoću razdiobe GEV

### Ličko Lešće (1969. – 2020.)



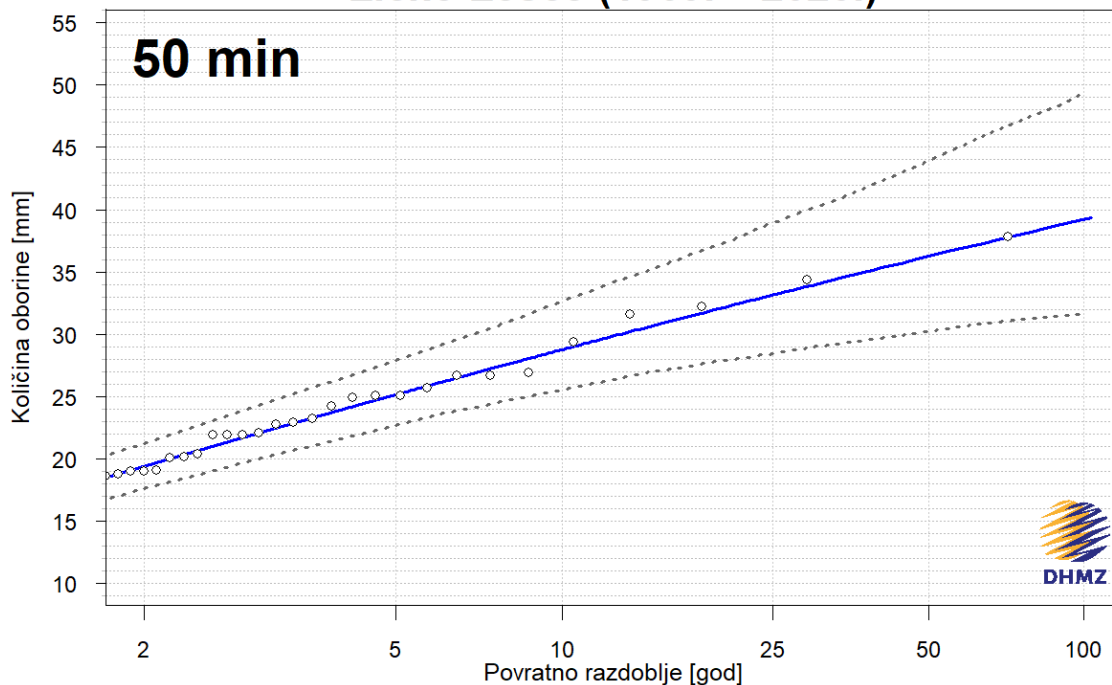
Slika 4. Procjene maksimalnih godišnjih količina oborine za različita povratna razdoblja (plava krivulja) i odgovarajući donji i gornji 95%-tni intervali pouzdanosti (crtkane krivulje) za trajanje **30 minuta**, izračunate pomoću razdiobe GEV

## Ličko Lešće (1969. – 2020.)

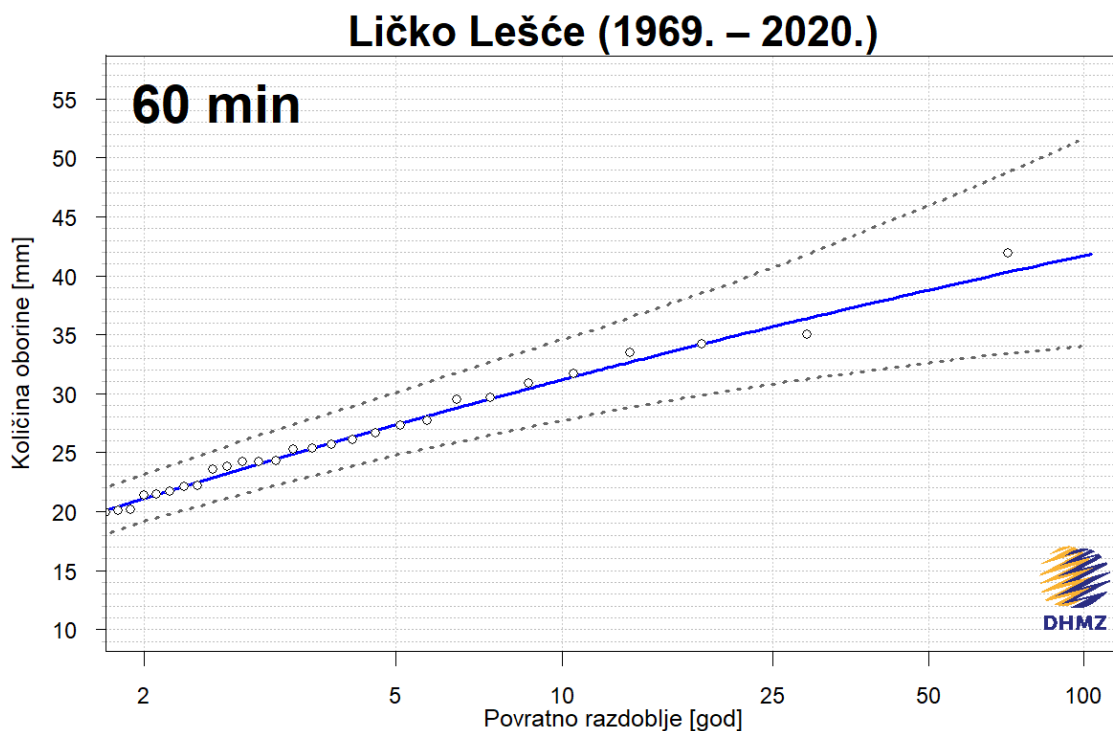


Slika 5. Procjene maksimalnih godišnjih količina oborine za različita povratna razdoblja (plava krivulja) i odgovarajući donji i gornji 95%-tni intervali pouzdanosti (crtkane krivulje) za trajanje **40 minuta**, izračunate pomoću razdiobe GEV

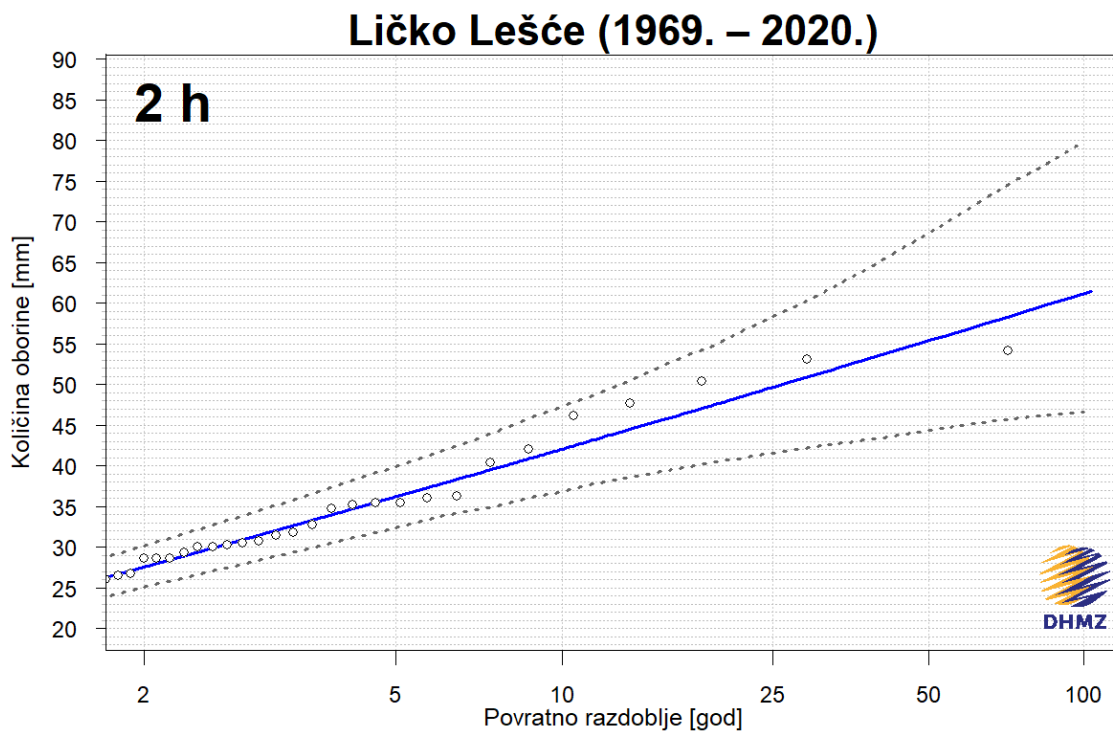
## Ličko Lešće (1969. – 2020.)



Slika 6. Procjene maksimalnih godišnjih količina oborine za različita povratna razdoblja (plava krivulja) i odgovarajući donji i gornji 95%-tni intervali pouzdanosti (crtkane krivulje) za trajanje **50 minuta**, izračunate pomoću razdiobe GEV

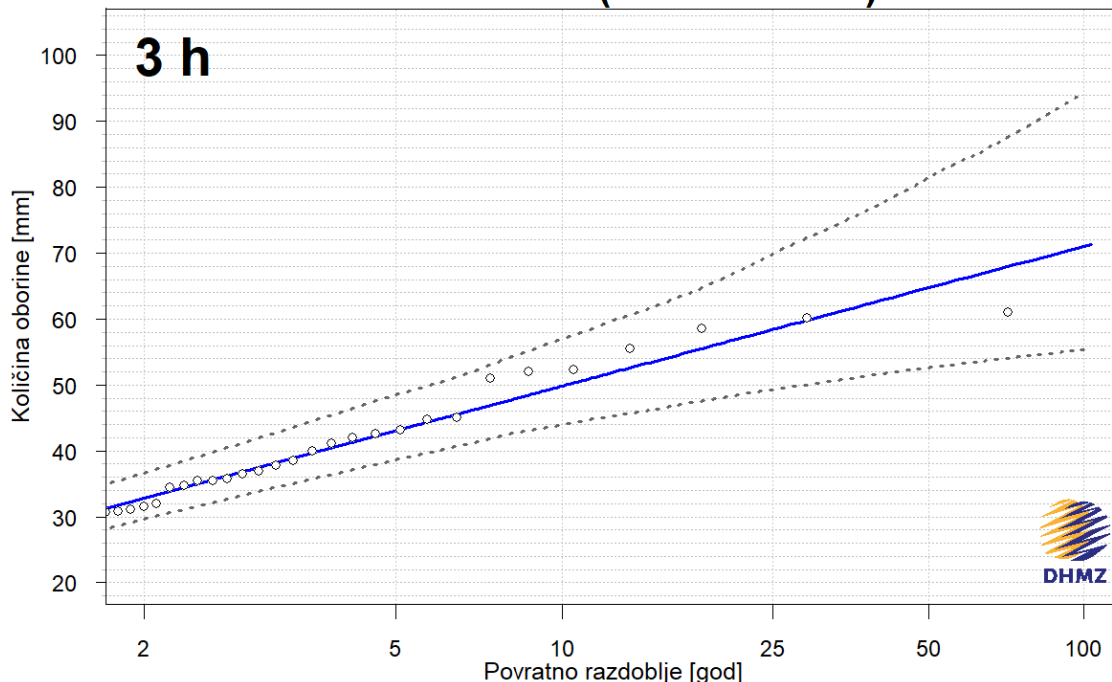


Slika 7. Procjene maksimalnih godišnjih količina oborine za različita povratna razdoblja (plava krivulja) i odgovarajući donji i gornji 95%-tni intervali pouzdanosti (crtkane krivulje) za trajanje **60 minuta**, izračunate pomoću razdiobe GEV



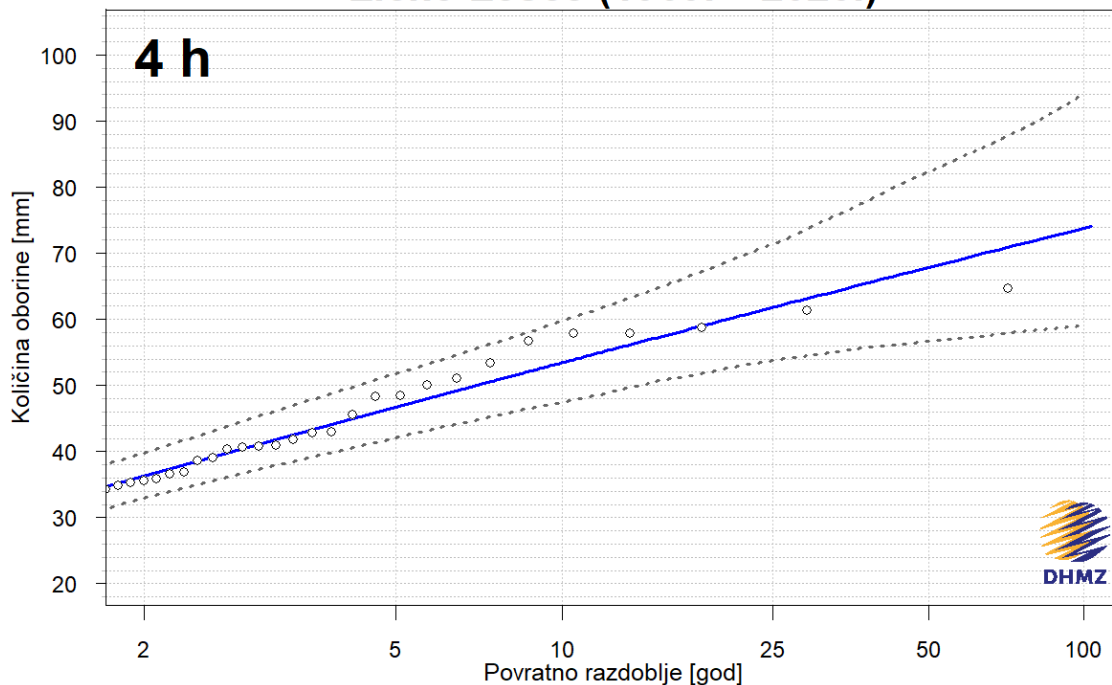
Slika 8. Procjene maksimalnih godišnjih količina oborine za različita povratna razdoblja (plava krivulja) i odgovarajući donji i gornji 95%-tni intervali pouzdanosti (crtkane krivulje) za trajanje **2 h**, izračunate pomoću razdiobe GEV

## Ličko Lešće (1969. – 2020.)



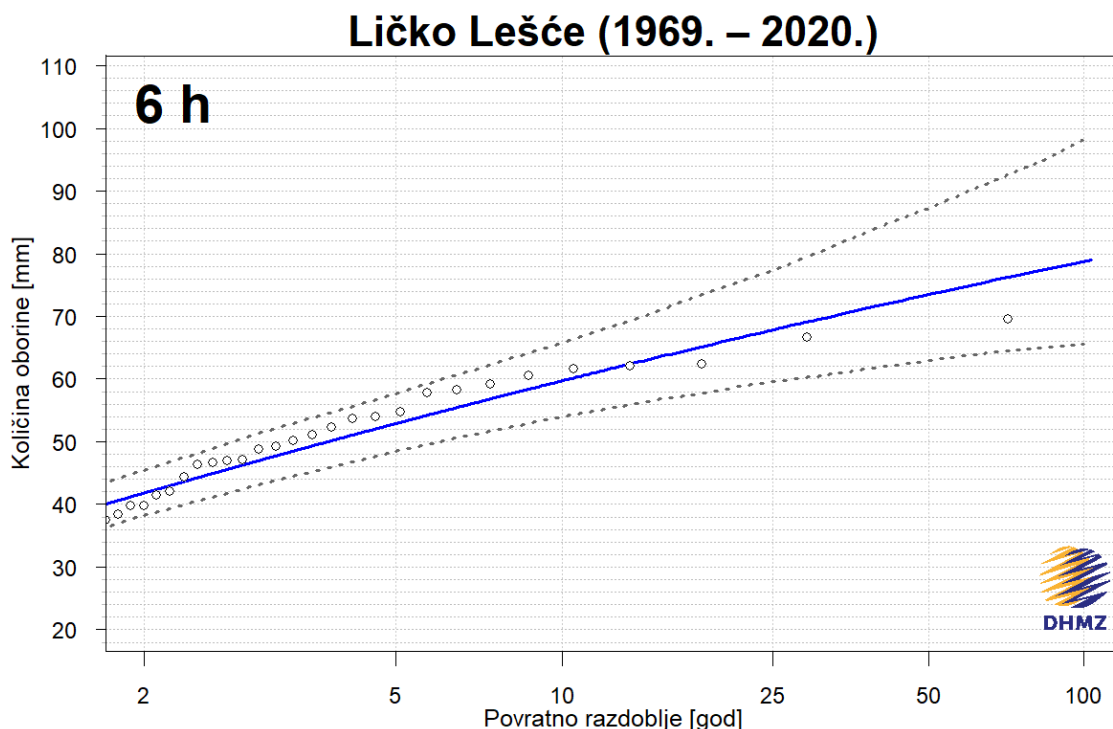
Slika 9. Procjene maksimalnih godišnjih količina oborine za različita povratna razdoblja (plava krivulja) i odgovarajući donji i gornji 95%-tni intervali pouzdanosti (crtkane krivulje) za trajanje 3 h, izračunate pomoću razdiobe GEV

## Ličko Lešće (1969. – 2020.)

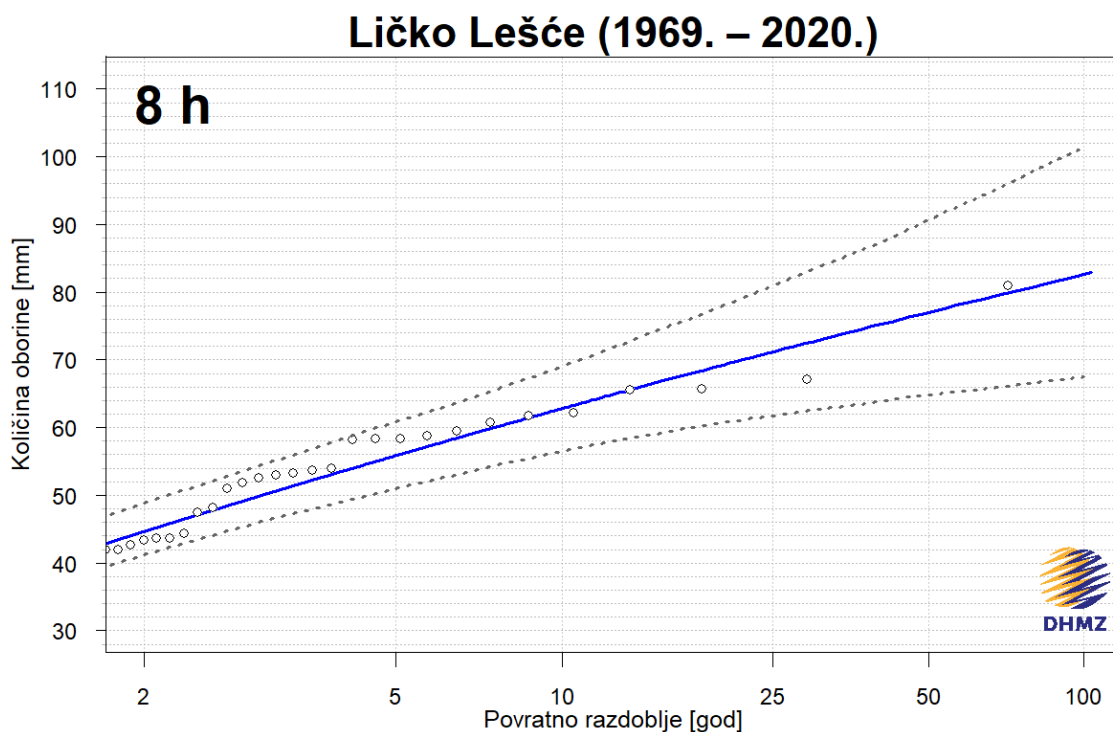


Slika 10. Procjene maksimalnih godišnjih količina oborine za različita povratna razdoblja (plava krivulja) i odgovarajući donji i gornji 95%-tni intervali pouzdanosti (crtkane krivulje) za trajanje 4 h, izračunate pomoću razdiobe GEV

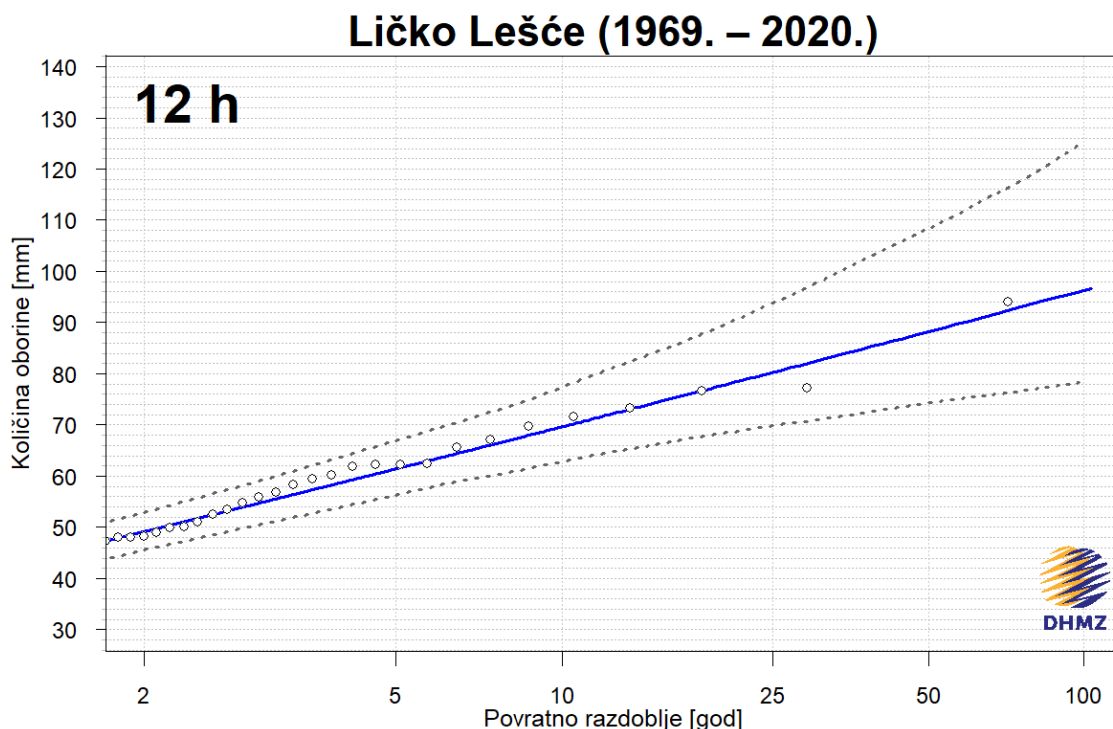




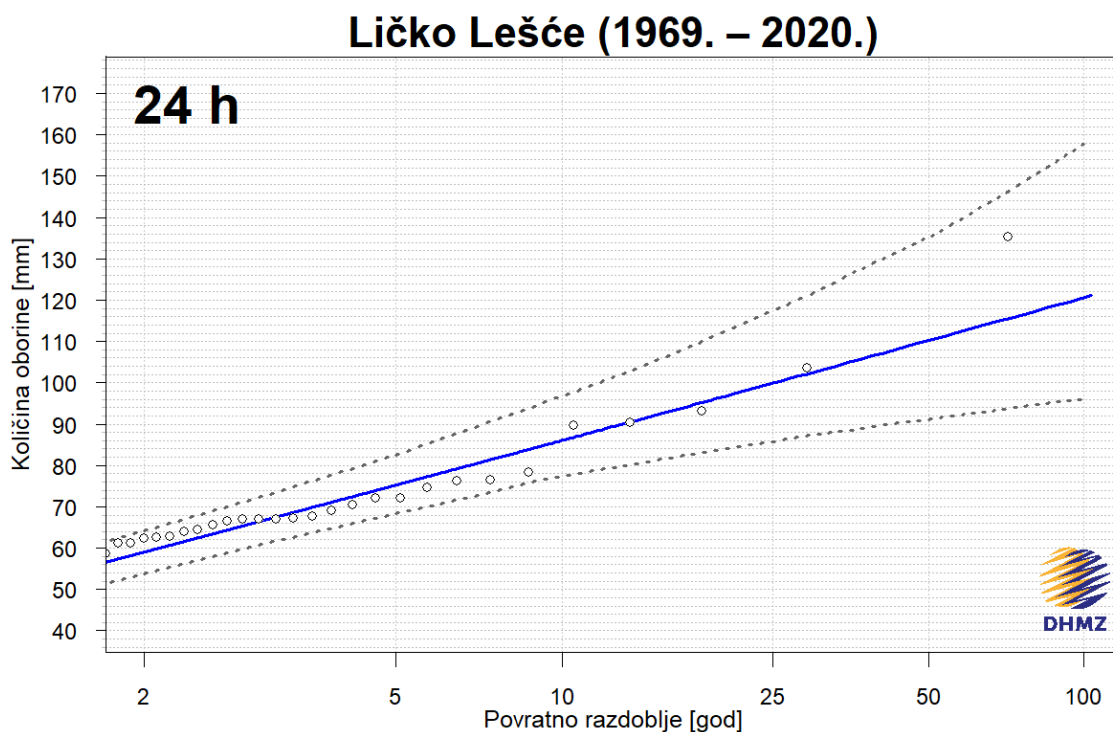
Slika 11. Procjene maksimalnih godišnjih količina oborine za različita povratna razdoblja (plava krivulja) i odgovarajući donji i gornji 95%-tni intervali pouzdanosti (crtkane krivulje) za trajanje **6 h**, izračunate pomoću razdiobe GEV



Slika 12. Procjene maksimalnih godišnjih količina oborine za različita povratna razdoblja (plava krivulja) i odgovarajući donji i gornji 95%-tni intervali pouzdanosti (crtkane krivulje) za trajanje **8 h**, izračunate pomoću razdiobe GEV



Slika 13. Procjene maksimalnih godišnjih količina oborine za različita povratna razdoblja (plava krivulja) i odgovarajući donji i gornji 95%-tni intervali pouzdanosti (crtkane krivulje) za trajanje **12 h**, izračunate pomoću razdiobe GEV



Slika 14. Procjene maksimalnih godišnjih količina oborine za različita povratna razdoblja (plava krivulja) i odgovarajući donji i gornji 95%-tni intervali pouzdanosti (crtkane krivulje) za trajanje **24 h**, izračunate pomoću razdiobe GEV